

Режимы нелинейной акустической прозрачности для продольно-поперечных пикосекундных импульсов в низкотемпературном парамагнитном кристалле

© А.В. Гулаков, С.В. Сазонов

Калининградский государственный университет,
236041 Калининград, Россия

E-mail: nst@alg.kaliningrad.ru

(Поступила в Редакцию 4 декабря 2003 г.)

Проведено теоретическое исследование нелинейного распространения продольно-поперечных акустических видеоимпульсов (импульсов длительностью менее одного периода колебаний) в системе парамагнитных центров с эффективным спином $S = 1$. Показано, что в зависимости от соотношений между величинами продольной и поперечной компонент деформации, а также от отстройки их линейных скоростей могут быть реализованы режимы распространения, соответствующие различной динамике поля и среды. В случае близких значений скоростей продольного и поперечного гиперзвука проанализирован аналог самоиндуцированной прозрачности. При существенной же скоростной отстройке возможно распространение в виде рациональных солитонов. Если преобладает поперечная составляющая, данные солитоны способны полностью инвертировать населенности зеэмановских подуровней. В противоположном пределе населенности практически не изменяются.

Работа поддержана Российским фондом фундаментальных исследований (проект № 02-02-17710а).

1. Введение

Одной из основных тенденций развития современной нелинейной оптики и физической акустики является все большее укорочение длительности генерируемых в лабораторных условиях импульсов. Сегодня можно получить импульсы, вмещающие внутри себя порядка одного (и даже половины) периода колебаний соответствующей физической природы [1–3]. В таких случаях говорят о предельно коротких импульсах (ПКИ) или о видеоимпульсах. Абсолютная длительность τ_p оптических ПКИ достигает 5–10 fs, акустических — порядка 10 ps [2].

Основным отличием ПКИ от квазимонохроматических импульсов (КМИ) является отсутствие у первых ярко выраженной несущей частоты. Поэтому при теоретических исследованиях взаимодействия таких импульсов с веществом не представляется возможным использование традиционного для КМИ приближения медленно меняющейся огибающей (ММО).

Анализ развития современной физики когерентных явлений выявляет, в частности, то обстоятельство, что оптические нестационарные эффекты рано или поздно обнаруживали свои акустические аналоги [4]. В [5] проведен соответствующий исторический анализ. Здесь же мы коснемся акустического аналога самоиндуцированной прозрачности (СИП) [6]. Эффект акустической самоиндуцированной прозрачности (АСИП) был предсказан и обнаружен через несколько лет после открытия оптической СИП [7–9].

Важно отметить не только сходства, но и отличия между оптическими и акустическими когерентными явлениями. Одно из основных отличий может являться следствием того, что акустическая волна в твердом теле имеет продольно-поперечную структуру, причем скоро-

сти продольной a_{\parallel} и поперечной a_{\perp} волн, вообще говоря, различны. В [10] изучено влияние данной двухкомпонентности на АСИП, выявлены различные солитонные режимы распространения при близких значениях a_{\parallel} и a_{\perp} , а в [11,12] совершен отказ от приближения ММО при $a_{\parallel} = a_{\perp}$ и исследованы вопросы интегрируемости соответствующей системы материальных и волновых уравнений.

Явление СИП для оптических ПКИ детально исследовано в [13], где выявлены сходства и отличия от СИП для случая КМИ.

Взаимодействие акустических ПКИ с веществом в режиме АСИП также исследовалось ранее [14]. В качестве квантовых объектов, взаимодействующих с упругими импульсами, рассматривались парамагнитные ионы с эффективным спином $S = 1/2$. Обладая сравнительной математической простотой, такая модель не вполне адекватна экспериментальной ситуации. Дело в том, что как показывает опыт, наиболее сильную динамическую связь с колебаниями решетки испытывают парамагнитные ионы с эффективным спином $S = 1$ [15–17]. Примерами последних является Fe^{2+} и Ni^{2+} в кристаллической матрице MgO [7]. Поэтому весьма желательно теоретическое исследование взаимодействия акустических ПКИ с системой акустических спинов $S = 1$ в режиме АСИП, чему и посвящена настоящая работа.

2. Полуклассические уравнения движения

Рассмотрим случай, когда внешнее магнитное поле \mathbf{B} направленно вдоль оси z , соответствующей оси четвертого порядка кубического парамагнитного кристалла.

В этом случае гамильтониан некоторого спина, взаимодействующего с колебаниями решетки и находящегося в данном поле, имеет вид

$$\hat{H} = \hat{H}_s + \hat{V}, \quad (1)$$

где собственный гамильтониан спина

$$\hat{H}_s = g\mu_B B \hat{S}_z. \quad (2)$$

Здесь g — фактор Ланде, μ_B — магнетон Бора, гамильтониан \hat{V} спин-фононного взаимодействия представляется квадратичной формой по спиновым операторам [15–17]

$$\hat{V} = G_{ijml} \mathcal{E}_{ml} \hat{S}_i \hat{S}_j = \frac{1}{2} G_{ijml} \mathcal{E}_{ml} (\hat{S}_i \hat{S}_j + \hat{S}_j \hat{S}_i), \quad (3)$$

где G_{ijml} — компоненты тензора спин-фононного взаимодействия, \hat{S}_j ($j = x, y, z$) — спиновые матрицы 3×3 , имеющие в рассматриваемой геометрии вид [15]

$$\hat{S}_x = \frac{1}{\sqrt{2}} \begin{pmatrix} 0 & 1 & 0 \\ 1 & 0 & 1 \\ 0 & 1 & 0 \end{pmatrix}, \quad \hat{S}_y = \frac{i}{\sqrt{2}} \begin{pmatrix} 0 & -1 & 0 \\ 1 & 0 & -1 \\ 0 & 1 & 0 \end{pmatrix},$$

$$\hat{S}_z = \begin{pmatrix} 1 & 0 & 0 \\ 0 & 0 & 0 \\ 0 & 0 & -1 \end{pmatrix}, \quad (4)$$

\mathcal{E}_{ml} — тензор деформации, выражающейся через декартовы составляющие вектора \mathbf{U} локальных смещений соотношением

$$\mathcal{E}_{ml} = \frac{1}{2} \left(\frac{\partial U_m}{\partial x_l} + \frac{\partial U_l}{\partial x_m} \right), \quad (5)$$

$m, l = x, y, z$; в (3) и далее повторяющиеся нижние индексы означают суммирование.

Компоненты тензора \hat{G} симметричны по отношению к перестановкам пар индексов i, j и m, l , а также по отношению к перестановкам внутри этих пар.

Для самосогласованного описания динамики спина и акустических импульсов добавим к (2) и (3) гамильтониан упругого поля. Далее используем полуклассический подход, согласно которому спины будем описывать квантовомеханически, а упругое поле — классическими уравнениями механики сплошной среды. В соответствии с этим гамильтониан упругого поля имеет вид классического функционала [18]

$$H_a = \frac{1}{2} \int \left(\frac{p_i p_j}{\rho} + \lambda_{ijkl} \frac{\partial U_i}{\partial x_j} \frac{\partial U_k}{\partial x_l} \right) d^3 \mathbf{r}, \quad (6)$$

где ρ средняя плотность кристалла, p_i ($i = x, y, z$) — компоненты плотности импульса \mathbf{p} локальных смещений, λ_{ijkl} — компоненты модуля упругости среды.

Исходя из классической схемы полуклассического подхода [16], эволюцию спина будем описывать при помощи уравнения для матрицы плотности

$$i\hbar \frac{\partial \hat{\rho}}{\partial t} = [\hat{H}_s + \hat{V}, \hat{\rho}], \quad (7)$$

а динамику акустического поля — классическими уравнениями Гамильтона для непрерывной среды

$$\frac{\partial \mathbf{p}}{\partial t} = -\frac{\delta}{\delta \mathbf{U}} (H_a + \langle \hat{V} \rangle), \quad \frac{\partial \mathbf{U}}{\partial t} = \frac{\delta}{\delta \mathbf{p}} (H_a + \langle \hat{V} \rangle). \quad (8)$$

Здесь $\langle \hat{V} \rangle = \int n \langle \hat{V} \rangle d\mathbf{r}$, n — концентрация парамагнитных центров, $\langle \hat{V} \rangle \equiv \text{Sp}(\hat{\rho} \hat{V})$ — квантовое среднее гамильтониана взаимодействия. В (7) мы пренебрегли релаксационными слагаемыми, считая, что длительность импульса меньше всех времен релаксации.

Система уравнений (7) и (8) при использовании (1)–(6) позволяет описать распространение акустического импульса в любом заданном направлении по отношению к \mathbf{V} . Далее для определенности будем считать, что выполняются условия геометрии Фарадея, т.е. импульс распространяется вдоль \mathbf{V} . Пусть все динамические переменные зависят только от z и t . Тогда остаются три ненулевые компоненты тензора деформации: $\mathcal{E}_{zz} = \mathcal{E}_{\parallel} = \partial U_z / \partial z$, $\mathcal{E}_{xz} = 0.5 \partial U_x / \partial z$, $\mathcal{E}_{yz} = 0.5 \partial U_y / \partial z$. Кроме того, в случае кубического кристалла ненулевые компоненты модуля упругости $\lambda_{xzxz} = \lambda_{yzyz} = \lambda_{\perp}$, $\lambda_{zzzz} = \lambda_{\parallel}$. Для компонент тензора \hat{G} будем использовать обозначения Фохта [15]: $xx \rightarrow 1$, $yy \rightarrow 2$, $zz \rightarrow 3$, $yz \rightarrow 4$, $xz \rightarrow 5$, $xy \rightarrow 6$. В силу кубической симметрии $G_{23} = G_{13}$, $G_{33} = G_{22} = G_{11}$, $G_{55} = G_{44}$. В целях дальнейшего упрощения выражения для \hat{V} в кубическом кристалле заметим, что при инверсии координатных осей x и y компоненты спинового оператора преобразуются следующим образом [16]: $x \rightarrow -x$, $\hat{S}_x \rightarrow \hat{S}_x$, $\hat{S}_y \rightarrow -\hat{S}_y$, $\hat{S}_z \rightarrow -\hat{S}_z$; $y \rightarrow -y$, $\hat{S}_x \rightarrow -\hat{S}_x$, $\hat{S}_y \rightarrow \hat{S}_y$, $\hat{S}_z \rightarrow -\hat{S}_z$. Учитывая инвариантность \hat{V} по отношению к этим преобразованиям, запишем

$$\hat{V} = \frac{3}{2} G_{11} \hat{S}_z^2 \frac{\partial u_z}{\partial z} + \frac{1}{2} G_{44} \left[\frac{\partial U_x}{\partial z} (\hat{S}_z \hat{S}_x + \hat{S}_x \hat{S}_z) + \frac{\partial U_y}{\partial z} (\hat{S}_z \hat{S}_y + \hat{S}_y \hat{S}_z) \right]. \quad (9)$$

Суммируя все сказанное, после использования (8) и (9) получим

$$\frac{\partial^2 \mathcal{E}_{\perp}}{\partial t^2} - a_{\perp}^2 \frac{\partial^2 \mathcal{E}_{\perp}}{\partial z^2} = \frac{n}{2\rho} G_{44} \frac{\partial^2}{\partial z^2} (\rho_{32}^* - \rho_{21}^*), \quad (10)$$

$$\frac{\partial^2 \mathcal{E}_{\parallel}}{\partial t^2} - a_{\parallel}^2 \frac{\partial^2 \mathcal{E}_{\parallel}}{\partial z^2} = -\frac{3n}{2\rho} G_{11} \frac{\partial^2 \rho_{22}}{\partial z^2}, \quad (11)$$

где поперечная деформация $\mathcal{E}_{\perp} \equiv (\mathcal{E}_{xz} + i\mathcal{E}_{yz})/\sqrt{2}$, $a_{\perp} = \sqrt{\lambda_{\perp}/\rho}$ и $a_{\parallel} = \sqrt{\lambda_{\parallel}/\rho}$ — скорости продольного и поперечного звука соответственно в отсутствие парамагнитных примесей.

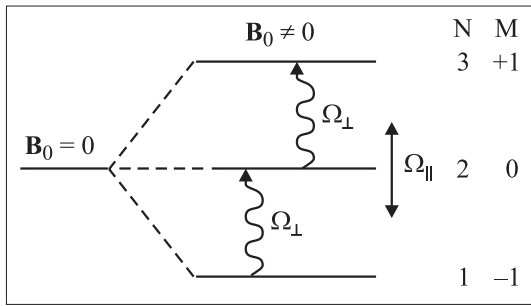


Рис. 1. Схема квантовых переходов при зеемановском расщеплении в трехуровневой системе. Здесь N — номер квантового уровня, M — магнитное квантовое число, волнистые линии означают квантовые переходы, вызванные поперечной компонентой акустического импульса, двойная стрелка \leftrightarrow соответствует динамическому сдвигу частот данных переходов.

Используя (2)–(4), можно переписать выражение для оператора $\hat{H}_a + \hat{V}$ в матричной форме

$$\hat{H}_s + \hat{V} = \begin{pmatrix} \hbar\omega_0 + \frac{3}{2}G_{11}\mathcal{E}_{\parallel} & \frac{G_{44}}{2}\mathcal{E}_{\perp}^* & 0 \\ \frac{G_{44}}{2}\mathcal{E}_{\perp} & 0 & -\frac{G_{44}}{2}\mathcal{E}_{\perp}^* \\ 0 & -\frac{G_{44}}{2}\mathcal{E}_{\perp} & -\hbar\omega_0 + \frac{3}{2}G_{11}\mathcal{E}_{\parallel} \end{pmatrix}, \quad (12)$$

где $\omega_0 = g\mu_B B/\hbar$ — частота зеемановского расщепления в эквидистантной трехуровневой системе со спином $S = 1$. Отметим, что нумерация квантовых уровней идет снизу вверх.

Из (10)–(12) видно, что в геометрии Фарадея поперечная компонента акустической волны вызывает каскадные квантовые переходы $1 \leftrightarrow 2$ и $2 \leftrightarrow 3$. В то же время продольная компонента динамическим образом изменяет частоты данных переходов (рис. 1). Физический механизм спин-фононного взаимодействия в рассматриваемом случае — это так называемый механизм Ван-Флека [4,15,17], в соответствии с которым акустическая волна создает градиенты внутрикристаллического электрического поля в местах расположения парамагнитных ионов. Последние вызывают в свою очередь квадрупольные переходы между зеемановскими подуровнями, а также динамический квадрупольный Штарк-эффект, при котором уровни с совпадающими модулями магнитных квантовых чисел M смещаются одинаково [19]. В нашем случае одинаковому смещению подвержены первый ($M = -1$) и третий ($M = +1$) уровни.

В нулевом приближении по правым частям (10), (11) имеем две волны, распространяющиеся в разных направлениях со скоростями a_{\perp} и a_{\parallel} . Рассмотрим только волну, распространяющуюся вдоль оси z , значения a_{\parallel} и a_{\perp} будем считать близкими, так что $(a_{\parallel} - a_{\perp})/a_{\parallel} \ll 1$. Это приближение хорошо выполняется в толще среды и дает небольшую погрешность на входе из-за эффекта частичного отражения. В первом приближении

по правым частям (10), (11) запишем $\mathcal{E}_{\parallel} = \mathcal{E}_{\parallel}(\tau, \xi)$, $\mathcal{E}_{\perp} = \mathcal{E}_{\perp}(\tau, \xi)$, где $\tau = t - z/a_{\parallel}$ — локальное время, а $\xi = \mu z$ — „медленная координата“ [20], μ — малый ($\mu \ll 1$) безразмерный параметр, смысл которого будет выяснен далее. Очевидно

$$\frac{\partial^2}{\partial t^2} \rightarrow \frac{\partial^2}{\partial \tau^2}, \quad \frac{\partial}{\partial z} \rightarrow -\frac{1}{a_{\parallel}} \frac{\partial}{\partial \tau} + \mu \frac{\partial}{\partial \xi}.$$

Пренебрегая слагаемыми $\sim \mu^2$, запишем

$$\frac{\partial^2}{\partial z^2} \rightarrow \frac{1}{a_{\parallel}^2} \frac{\partial^2}{\partial \tau^2} - \frac{2\mu}{a_{\parallel}} \frac{\partial}{\partial \tau} \frac{\partial}{\partial \xi}.$$

Подставляя данные выражения в (10), (11), после интегрирования по τ и учитывая нулевые значения деформации и ее производных на бесконечности, получим волновые уравнения первого порядка для \mathcal{E}_{\parallel} и \mathcal{E}_{\perp} .

Дополнив полученную систему волновых уравнений материальными, будем иметь

$$\frac{\partial \Omega_{\perp}}{\partial z} + \left(\frac{1}{a_{\perp}} - \frac{1}{a_{\parallel}} \right) \frac{\partial \Omega_{\perp}}{\partial \tau} = \beta_{\perp} \frac{\partial}{\partial \tau} (\rho_{32}^* - \rho_{21}^*), \quad (13)$$

$$\frac{\partial \Omega_{\parallel}}{\partial z} = -\beta_{\parallel} \frac{\partial \rho_{22}}{\partial \tau}, \quad (14)$$

$$\frac{\partial \hat{\rho}}{\partial \tau} = -i[\hat{\Omega}, \hat{\rho}], \quad (15)$$

где

$$\hat{\Omega} = \begin{pmatrix} \Omega_{\parallel} + \omega_0 & \Omega_{\perp}^*/2\sqrt{2} & 0 \\ \Omega_{\perp}/2\sqrt{2} & 0 & -\Omega_{\perp}^*/2\sqrt{2} \\ 0 & -\Omega_{\perp}/2\sqrt{2} & \Omega_{\parallel} - \omega_0 \end{pmatrix},$$

$$\Omega_{\parallel} = 3G_{11}\mathcal{E}_{\parallel}/2\hbar, \quad \Omega_{\perp} = G_{44}\mathcal{E}_{\perp}/2\hbar,$$

$$\beta_{\perp} = nG_{44}^0/(8\hbar\rho a_{\parallel}a_{\perp}^2), \quad \beta_{\parallel} = 9nG_{11}^2/(8\hbar\rho a_{\parallel}^3). \quad (16)$$

Согласно (15), запишем материальные уравнения для элементов матрицы плотности, содержащихся в правой части (13),

$$\frac{\partial \rho_{32}^*}{\partial \tau} = i(\omega_0 + \Omega_{\parallel})\rho_{32}^* - \frac{i\Omega_{\perp}}{2\sqrt{2}}(\rho_{33} - \rho_{22}) + \frac{i\Omega_{\perp}^*}{2\sqrt{2}}\rho_{31}^*,$$

$$\frac{\partial \rho_{21}^*}{\partial \tau} = i(\omega_0 - \Omega_{\parallel})\rho_{21}^* - \frac{i\Omega_{\perp}}{2\sqrt{2}}(\rho_{11} - \rho_{22}) + \frac{i\Omega_{\perp}^*}{2\sqrt{2}}\rho_{31}^*.$$

С учетом последних уравнений производную в правой части (13) можно представить в следующем виде:

$$\begin{aligned} \frac{\partial}{\partial \tau}(\rho_{32}^* - \rho_{21}^*) &= i\omega_0(\rho_{32}^* - \rho_{21}^*) + i\Omega_{\parallel}(\rho_{32}^* + \rho_{21}^*) \\ &+ \frac{i\Omega_{\perp}}{2\sqrt{2}}(\rho_{11} - \rho_{33}). \end{aligned} \quad (17)$$

Дальнейшее исследование базируется на анализе системы волновых и материальных уравнений (13)–(17).

3. Нелинейные волновые уравнение

Пусть длительность импульса τ_p настолько мала, что выполняется условие спектрального перекрытия [14,21]

$$\omega_0 \tau_p \ll 1, \quad (18)$$

т.е. спектр импульса содержит Фурье-компоненты, резонансные переходам между зеемановскими подуровнями. При этом может осуществляться достаточно сильное взаимодействие между акустической волной и парамагнитными примесями. В то же время будем считать, что пространственный размер l импульса значительно больше межатомных расстояний h , и поэтому все еще справедливо приближение сплошной среды. Выполнения обоих этих условий можно добиться, считая, что частота зеемановских переходов $\omega_0 \sim 10^{10} \text{ s}^{-1}$, при этом длительность импульса $\tau_p \sim 10^{-11} \text{ s}$, а $l \sim a_{\perp} \tau_p \sim 10^{-6} \text{ cm} \gg h \sim 10^{-8} \text{ cm}$.

Заметим, что при условии (18) неоднородное уширение не оказывает существенного влияния на взаимодействие спинов с акустическим импульсом. Действительно, характерный разброс $\delta\omega$ частот в контурах неоднородного уширения для зеемановских переходов составляет $\sim 10^8 - 10^9 \text{ s}^{-1}$ [7]. В то же время спектральная ширина импульса $\delta\omega_p \sim 1/\tau_p \sim 10^{11} \text{ s}^{-1}$. Поэтому даже при учете неоднородного уширения спектр импульса эффективно захватывает все квантовые переходы.

Исключим из уравнений (13)–(15) материальные переменные с помощью операторного варианта асимптотического метода Вентцеля–Крамерса–Бриллюэна [10,22,23]. Из (16) видно, что матрица $\hat{\Omega}$ не коммутирует сама с собой в различные моменты времени. Однако, если импульсное воздействие достаточно мало, изменение $\hat{\Omega}$ в течение этого воздействия $\Delta\tau$ незначительно и можно говорить о приближенной коммутативности. Тогда [10]

$$\hat{\rho}(\tau) = \hat{U} \hat{\rho}(t_0) \hat{U}^+, \quad (19)$$

где оператор эволюции

$$\hat{U} = \lim_{\Delta\tau \rightarrow 0} [\exp(i\hat{\theta})], \quad (20)$$

$\hat{\theta} \int_{t_0}^{t_0+\Delta\tau} \hat{\Omega} d\tau'$ — оператор площади, t_0 — время начала импульсного воздействия.

Операторную экспоненту можно вычислить по формуле Сильвестра [24]

$$\exp(i\hat{\theta}) = \sum_j \prod_{q \neq j} \frac{\hat{\theta} - \lambda_q \hat{I}}{\lambda_j - \lambda_q} \exp(i\lambda_j), \quad (21)$$

где \hat{I} — единичная матрица, $\{\lambda_j\}$ — набор собственных значений оператора $\hat{\theta}$.

Неопределенности типа 0/0 в множителях перед экспонентой раскроем по правилу Лопиталья, полагая, что

в пределе $\Delta\tau \rightarrow 0$ $\lambda_j \approx p_j \Delta\tau \approx \int_{t_0}^{t_0+\Delta\tau} p_j d\tau$, где $\{p_j\}$ — спектр собственных значений матрицы $\hat{\Omega}$.

Тогда, используя (20) и (21), получим

$$\hat{U} = \sum_j \prod_{q \neq j} \frac{\hat{\Omega} - p_q \hat{I}}{p_j - p_q} \exp\left(i \int_{-\infty}^{\tau} p_j d\tau'\right). \quad (22)$$

Здесь мы формально устремили t_0 к $-\infty$.

Используя (16), находим

$$p_1 = \Omega_{\parallel}, \quad p_{2,3} = (\Omega_{\parallel} \pm \Omega)/2, \\ \Omega = \sqrt{\Omega_{\parallel}^2 + |\Omega_{\perp}|^2}. \quad (23)$$

Считая, что до импульсного воздействия

$$\hat{\rho}(t_0) = \hat{\rho}(-\infty) = \begin{pmatrix} W_3 & 0 & 0 \\ 0 & W_2 & 0 \\ 0 & 0 & W_1 \end{pmatrix},$$

где W_j ($j = 1, 2, 3$) начальные населенности зеемановских подуровней, удовлетворяющие условиям $W_1 + W_2 + W_3 = 1$; из (16), (19), (22) и (23) получим

$$\rho_{32}^* + \rho_{21}^* = -\frac{\Omega_{\perp}}{\sqrt{2}\Omega} \left[(W_1 - W_3) \sin \frac{\theta_{\parallel}}{2} + i(1 - 3W_2) \cos \frac{\theta}{2} \right] \sin \frac{\theta}{2}, \quad (24)$$

$$\rho_{32}^* - \rho_{21}^* = \frac{\Omega_{\perp}}{\sqrt{2}\Omega} \left[(1 - 3W_2) \frac{\Omega_{\parallel}}{\Omega} \sin \frac{\theta}{2} + i(W_1 - W_3) \cos \frac{\theta_{\parallel}}{2} \right] \sin \frac{\theta}{2}, \quad (25)$$

$$\rho_{11} - \rho_{33} = (W_1 - W_3) \times \left(\cos \frac{\theta_{\parallel}}{2} \cos \frac{\theta}{2} + \frac{\Omega_{\parallel}}{\Omega} \sin \frac{\theta_{\parallel}}{2} \sin \frac{\theta}{2} \right). \quad (26)$$

Здесь $\theta_{\parallel} = \int_{-\infty}^{\tau} \Omega_{\parallel} d\tau'$, $\theta = \int_{-\infty}^{\tau} \Omega d\tau'$.

Общим свойством решений, полученных с помощью метода ВКБ, является то, что коэффициенты перед периодическими функциями меняются во времени значительно медленнее [22,23], чем эти функции. Тогда запишем приближенно

$$\frac{\partial \rho_{22}}{\partial \tau} = \frac{1 - 3W_2}{2} \frac{\partial}{\partial \tau} \left(\frac{|\Omega_{\perp}|}{\Omega} \right)^2 \sin^2 \frac{\theta}{2} \\ \approx \frac{1 - 3W_2}{2} \left(\frac{|\Omega_{\perp}|}{\Omega} \right)^2 \frac{\partial}{\partial \tau} \left(\sin^2 \frac{\theta}{2} \right) \\ = \frac{1 - 3W_2}{4} \frac{|\Omega_{\perp}|^2}{\Omega} \sin \theta.$$

Отсюда, а также из (13), (14) и (24)–(26) после замены переменных $\Omega_{\perp} = |\Omega_{\perp}|e^{i\varphi}$ получим систему интегро-дифференциальных волновых уравнений.

$$\frac{\partial |\Omega_{\perp}|}{\partial z} + \left(\frac{1}{a_{\perp}} - \frac{1}{a_{\parallel}} \right) \frac{\partial |\Omega_{\perp}|}{\partial \tau} = -\alpha_{\perp} \frac{\omega_0 |\Omega_{\perp}|}{\Omega} \cos \frac{\theta}{2} \sin \frac{\theta}{2} + \sigma_{\perp} \frac{\Omega_{\parallel} |\Omega_{\perp}|}{\Omega} \sin \theta, \quad (27)$$

$$\frac{\partial \varphi}{\partial z} + \left(\frac{1}{a_{\perp}} - \frac{1}{a_{\parallel}} \right) \frac{\partial \varphi}{\partial \tau} = \frac{\alpha_{\perp}}{2} \cos \frac{\theta}{2} \cos \frac{\theta}{2} + \frac{\Omega_{\parallel}}{\Omega} \left(2\sigma_{\perp} \frac{\omega_0}{\Omega} \sin \frac{\theta}{2} + \frac{3\alpha_{\perp}}{2} \sin \frac{\theta}{2} \right) \sin \frac{\theta}{2}, \quad (28)$$

$$\frac{\partial \Omega_{\parallel}}{\partial z} = -\alpha_{\parallel} \frac{|\Omega_{\perp}|^2}{\Omega} \sin \theta, \quad (29)$$

где $\alpha_{\perp} = \beta_{\perp}(W_1 - W_3)/\sqrt{2}$, $\sigma_{\perp} = \beta_{\perp}(1 - 3W_2)/2\sqrt{2}$, $\alpha_{\parallel} = \beta_{\parallel}(1 - 3W_2)/4$.

Система (27)–(29) описывает нелинейное взаимодействие между продольной и поперечной компонентами упругой волны посредством резонансных парамагнитных примесей. Из (29) видно, что поперечная компонента может генерировать продольную составляющую, в то время как обратный процесс невозможен. Это легко видеть, если в правой части (27) положить $|\Omega_{\perp}| = 0$. $\Omega_{\parallel} \neq 0$, что соответствует входным условиям. Тогда и в толще среды будем иметь по-прежнему $|\Omega_{\perp}| = 0$.

Уравнение (28) характеризует фазу поперечной компоненты упругого импульса, т.е. быстроту вращения ее плоскости поляризации. Анализ (28) позволяет выявить два соответствующих механизма. Первое слагаемое правой части не исчезает при $\Omega_{\parallel} = 0$ и описывает динамику вращения плоскости поляризации, обусловленную изменением момента импульса упругой волны при ее взаимодействии с парамагнитными примесями. Заметим, что эффект является линейным по полю, т.е. имеет место при сколь угодно малых значениях $|\Omega_{\perp}|$. Оставшиеся члены в правой части (28) описывают влияние продольной составляющей на вращение плоскости поляризации поперечной компоненты. Как отмечалось выше, продольная составляющая динамическим образом смещает частоты квантовых переходов, а потому оказывает влияние на эффективность взаимодействия данных переходов с поперечной компонентой, а следовательно, на эффективность обмена моментами импульса между полем и средой. Механизм вращения плоскости поляризации, обусловленный наличием продольной компоненты, является сугубо нелинейным (см. (28) и (29)) и исчезает в пределе малых полей. Далее два отмеченных механизма вращения плоскости поляризации будем называть соответственно линейным и нелинейным.

Отметим еще раз, что в уравнениях (27)–(29) не делалось приближения медленно меняющейся огибающей. Они получены из исходных волновых уравнений второго порядка с помощью предположения о малых

правых частях в (10) и (11). Теперь можно конкретизировать использованный при данной редукции малых параметр μ , заданный отношением правых частей к одному из слагаемых в левых частях. Из (27) видно, что

$$\mu \sim \max \left(\eta \frac{\omega_0^2 \tau_p}{\Omega}, \eta \frac{\omega_0 \tau_p \Omega_{\parallel}}{\Omega} \right) \sim \eta \omega_0 \tau_p,$$

где безразмерный параметр $\eta \sim nG_{44}^2/(\hbar\omega_0\rho a_{\perp}^2)$. Взяв $n \sim 10^{17} \text{ cm}^{-3}$, $G_{44} \sim 10^{-13} \text{ erg}$, $\rho \sim 5 \text{ g/cm}^3$, $a_{\perp} \sim 3 \cdot 10^5 \text{ cm/s}$ [7,15,16], найдем $\eta \sim 10^{-3}$. Отсюда и из (18) имеем с хорошей точностью $\mu \ll 1$. Аналогичный результат получается из уравнения (29).

4. Самоиндуцированная прозрачность для акустических видеоимпульсов

Пусть продольная компонента относительно мала, так что $\Omega_{\parallel}^2 \ll |\Omega_{\perp}|^2$. В этом случае $\Omega \simeq |\Omega_{\perp}|$. Введя новые переменные $\theta_{\perp} = \theta/2 = \int_{-\infty}^{\tau} \Omega_{\perp} d\tau'/2$, из (27) получим уравнение синус-Гордона

$$\frac{\partial^2 \theta_{\perp}}{\partial z \partial \tau_{\perp}} = -\frac{\alpha_{\perp} \omega_0}{2} \sin \theta_{\perp}, \quad (30)$$

где $\tau_{\perp} = t - z/a_{\perp}$.

Односолитонное решение уравнения (30) имеет вид

$$\theta_{\perp} = 4 \operatorname{arctg} \left[\exp \left(\frac{t - z/v}{\tau_p} \right) \right], \quad (31)$$

где скорость распространения в лабораторной системе координат

$$\frac{1}{v} = \frac{1}{a_{\perp}} + \frac{\alpha_{\perp} \omega_0}{2} \tau_p^2, \quad (32)$$

τ_p — длительность солитона поперечной компоненты, имеющей вид

$$|\Omega_{\perp}| = 2 \frac{\partial \theta_{\perp}}{\partial \tau} = \frac{4}{\tau_p} \operatorname{sech} \left(\frac{t - z/v}{\tau_p} \right). \quad (33)$$

Выражения для населенностей ρ_{11} и ρ_{33} , получаемые из (19), (22) и (23), в общем случае достаточно громоздки. Для их упрощения будем считать температуру T парамагнитного кристалла настолько малой, что $T < \hbar\omega_0/k_B$, где k_B — постоянная Больцмана. При $\omega_0 \sim 10^{10} \text{ s}^{-1}$ будем иметь $T < 0.1 \text{ K}$. Тогда можно считать что $W_1 = 1$, $W_2 = W_3 = 0$. В этом случае из (19), (22) и (23) найдем

$$\rho_{11} = \frac{1}{4} \left(1 + \cos^2 \frac{\theta}{2} + 2 \cos \frac{\theta_{\parallel}}{2} \cos \frac{\theta}{2} + 2 \frac{\Omega_{\parallel}}{\Omega} \sin \frac{\theta_{\parallel}}{2} \sin \frac{\theta}{2} + \frac{\Omega_{\parallel}^2}{\Omega^2} \sin^2 \frac{\theta}{2} \right), \quad (34)$$

$$\rho_{22} = W_2 + \frac{1 - 3W_2}{2} \left(\frac{|\Omega_{\perp}|}{\Omega} \right)^2 \sin^2 \frac{\theta}{2}. \quad (35)$$

Выражения для ρ_{33} может быть найдено из соотношения $\rho_{33} = 1 - \rho_{11} - \rho_{22}$. Отсюда, а также из (34), (35) и (31) получим

$$\begin{aligned} \rho_{11} &= \text{th}^4\left(\frac{t-z/v}{\tau_p}\right), \\ \rho_{22} &= 2 \text{th}^2\left(\frac{t-z/v}{\tau_p}\right) \text{sech}^2\left(\frac{t-z/v}{\tau_p}\right), \\ \rho_{33} &= \text{sech}^4\left(\frac{t-z/v}{\tau_p}\right). \end{aligned} \quad (36)$$

Для учета продольной компоненты можно положить в (29) $\Omega = |\Omega_{\perp}|$, $\theta = 2\theta_{\perp}$. Тогда, используя (31) и (33), получим

$$\Omega_{\parallel} = \frac{16\alpha_{\parallel}}{\alpha_{\perp}\tau_p^2} \text{th}^2\left(\frac{t-z/v}{\tau_p}\right) \text{sech}^2\left(\frac{t-z/v}{\tau_p}\right). \quad (37)$$

Такой учет Ω_{\parallel} относится к случаю $|\Omega_{\perp}|^2 \gg \Omega_{\parallel}^2$.

В рассматриваемом пределе из (28) и (31), а также учитывая, что (см. (32))

$$\frac{\partial\varphi}{\partial z} = -\left(\frac{1}{v} - \frac{1}{a_{\perp}}\right) \frac{\partial\varphi}{\partial\tau_{\perp}} = -\frac{\alpha_{\perp}\omega_0}{2} \tau_p^2 \frac{\partial\varphi}{\partial\tau_{\perp}},$$

получим для локальной скорости поворота плоскости поляризации поперечной составляющей $\omega_{\text{rot}} = \partial\varphi/\partial\tau_{\perp}$

$$\omega_{\text{rot}} = -\frac{1}{\omega_0\tau_p^2} \left(1 - 2 \text{sech}^2\left(\frac{t-z/v}{\tau_p}\right)\right). \quad (38)$$

Вращение плоскости поляризации вызвано в данном случае линейным механизмом. В процессе распространения импульса спины парамагнитных ионов совершают каскадные переходы $1 \rightarrow 2 \rightarrow 3$, возвращаясь затем в обратном порядке $3 \rightarrow 2 \rightarrow 1$ к исходному состоянию. При переходе $1 \rightarrow 2$ поперечная компонента импульса отдает проекцию своего момента импульса среде ($\Delta M = +1$), что сопровождается замедлением вращения плоскости поляризации. Этот же процесс происходит и на переходе $2 \rightarrow 3$. Как результат, вращение плоскости поляризации противоположно исходному (см. (38)) при $t = z/v$. Переводя затем спины каскадным образом из возбужденного состояния в основное, акустический импульс приобретает исходное значение своей проекции углового момента.

На рис. 2 показаны бегущие профили $|\Omega_{\perp}|$, Ω_{\parallel} , ω_{rot} , а также населенности квантовых уровней, соответствующие пределу $|\Omega_{\perp}|^2 \gg \Omega_{\parallel}^2$.

Заметим, что площадь импульса, соответствующая данному решению, равна 4π , что является следствием трехуровневости среды. Но если обратить внимание на (34), очевидно, что только импульсы кратные 4π будут возвращать среду в исходное состояние.

Покажем, что в противоположном предельном случае, когда $\Omega_{\parallel}^2 \gg |\Omega_{\perp}|^2$ и $a_{\parallel} = a_{\perp}$, солитонный режим распространения с нулевыми значениями деформации на бесконечности невозможен. Полагая в этом пределе

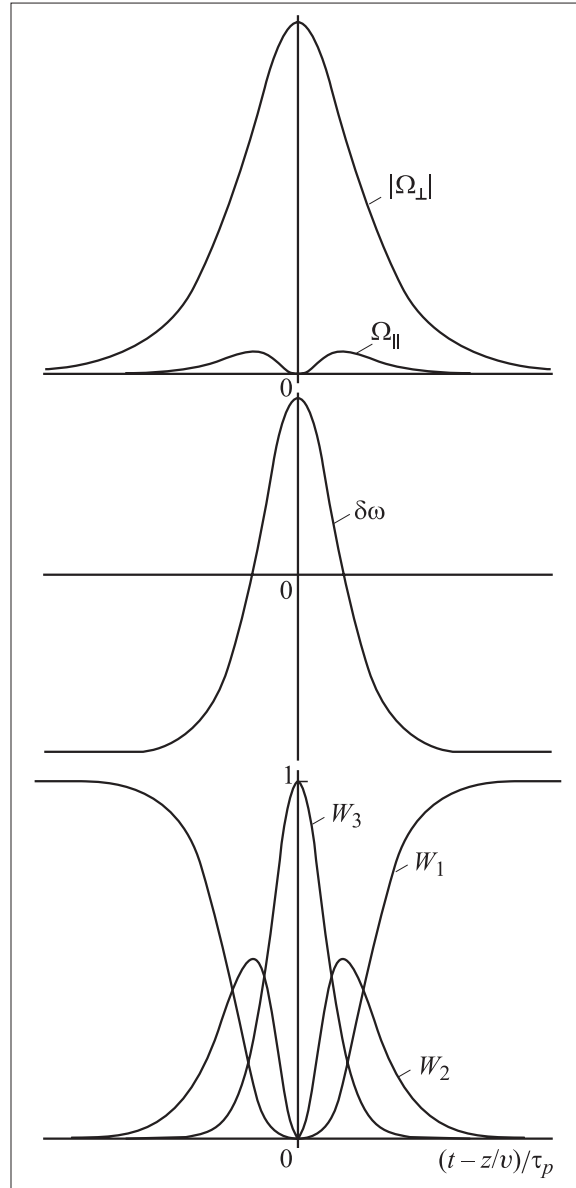


Рис. 2. Профили $|\Omega_{\perp}|$, Ω_{\parallel} , $\delta\omega$ и населенностей квантовых уровней в случае $|\Omega_{\perp}|^2 \gg \Omega_{\parallel}^2$ (режим АСИП).

в (27) $\theta = \theta_{\parallel}$ и используя (29), после интегрирования получим

$$|\Omega_{\perp}|^2 = \frac{1}{\alpha_{\parallel}} (\alpha_{\perp}\omega_0\Omega_{\parallel} - \sigma_{\perp}\Omega_{\parallel}^2).$$

Величины α_{\perp} и σ_{\perp} одного порядка, в то же время $\Omega \approx |\Omega_{\parallel}| \gg \omega_0$. Поэтому правая часть данного выражения отрицательна и, следовательно, оно лишено смысла.

5. Рациональные солитоны

В настоящем разделе будем считать, что выполняется условие $|\Omega_{\parallel}| \gg \omega_0$. Отсюда получим для относительной деформации $\mathcal{E}_{\parallel} \gg \hbar\omega_0/G_{11} \sim 10^{-4}$. Значения $\mathcal{E}_{\parallel} \sim 10^{-3}$

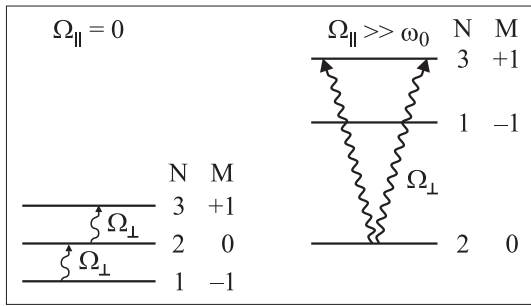


Рис. 3. Деформация квантового спектра спина $S = 1$ под действием мощной продольной компоненты акустического импульса. Обозначения имеют тот же смысл, что и на рис. 1.

все еще соответствуют упругой деформации. В этом случае можно пренебречь первым слагаемым в правой части (27). Будем искать решение (27)–(29), удовлетворяющее условию $\Omega_{\parallel} = q\Omega_{\perp}$, где q некоторая константа. Тогда, очевидно,

$$\Omega_{\perp} = \frac{1}{\sqrt{1+q^2}} \frac{\partial \theta}{\partial \tau}.$$

Учитывая все указанное выше, уравнения (27), (29) можно переписать в следующем виде:

$$\frac{\partial \theta}{\partial \tau} = \frac{2(\alpha_{\parallel} + \sigma_{\perp} q^2)}{\delta q \sqrt{1+q^2}} \sin^2 \frac{\theta}{2}, \quad \frac{\partial \theta}{\partial z} = -\frac{2\alpha_{\parallel}}{q \sqrt{1+q^2}} \sin^2 \frac{\theta}{2}, \quad (39)$$

где $\delta = 1/a_{\perp} - 1/a_{\parallel}$.

Односолитонное решение полученной системы в лабораторной системе координат имеет вид

$$\theta = -2 \operatorname{arccctg} \left(\frac{t - z/v}{\tau_p} \right), \quad (40)$$

где $\tau_p = \delta q \sqrt{1+q^2} / (\alpha_{\parallel} + \sigma_{\perp} q^2)$ — длительность импульса, а его скорость v определяется выражением

$$\frac{1}{v} = \frac{1}{a_{\parallel} + \sigma_{\perp} q^2} \left(\frac{\alpha_{\parallel}}{a_{\perp}} + \frac{\sigma_{\perp} q^2}{a_{\parallel}} \right). \quad (41)$$

Для импульсных компонент с учетом (40) имеем

$$|\Omega_{\perp}| = \frac{2(\alpha_{\parallel} + \sigma_{\perp} q^2)}{\delta q (1+q^2)(1+\xi^2)},$$

$$\Omega_{\parallel} = \frac{2(\alpha_{\parallel} + \sigma_{\perp} q^2)}{\delta (1+q^2)(1+\xi^2)}, \quad (42)$$

где $\xi = (t - z/v)/\tau_p$.

Импульсы (42) в отличие от (33) и (37) локализованы не экспоненциальным, а степенным образом. По этой причине будем называть их рациональными солитонами. Поскольку $a_{\parallel} > a_{\perp}$, то $\delta, \Omega_{\parallel} > 0$ (см. (42)). Поэтому первый и третий квантовые уровни динамически

смещаются вверх относительно среднего. В силу того, что $\Omega_{\parallel} \gg \omega_0$, эффективные частоты переходов $1 \leftrightarrow 2$ и $2 \leftrightarrow 3$ много больше частоты $2\omega_0$ перехода $1 \leftrightarrow 3$ (рис. 3). Таким образом, продольная компонента эффективно создает среду, обладающую инверсной населенностью по отношению к среднему уровню. Поперечная составляющая, вызывая в такой схеме квантовые переходы, согласно (41), обладает скоростью $v > a_{\perp}$ (в то же время $v < a_{\parallel}$). Здесь напрашивается некоторая аналогия со сверхсветовыми импульсами в инвертированных средах [25–27]. Только в нашем случае роль скорости света играет скорость поперечного звука a_{\perp} . Неравновесная же населенность создается не изначально, а за счет эффективной перестройки энергетического спектра атомов продольной компонентой упругого поля, распространяющейся вместе с поперечной составляющей.

Для анализа динамики населенностей и ω_{rot} рассмотрим теперь предельные случаи. Пусть вначале свободный параметр $q \ll 1$. Это означает, что преобладает поперечная компонента. Тогда

$$|\Omega_{\perp}| = \frac{2\alpha_{\parallel}}{\delta q (1+\xi^2)}, \quad \Omega_{\parallel} = \frac{2\alpha_{\parallel}}{\delta (1+\xi^2)}. \quad (43)$$

Здесь $\tau_p = \delta q / \alpha_{\parallel}$, $v = a_{\perp}$. Населенности в данном случае меняются согласно выражениям

$$\rho_{11} = \frac{1}{4} \left(1 - \frac{\xi}{\sqrt{1+\xi^2}} \right)^2, \quad \rho_{22} = \frac{1}{2(1+\xi^2)},$$

$$\rho_{33} = 1 - \rho_{11} - \rho_{22}.$$

Плоскость поляризации в данном пределе вращается в соответствии с выражением

$$\omega_{\text{rot}} = -\frac{\xi}{\omega_0 \tau_p^2 \sqrt{1+\xi^2}}.$$

Как видно из рис. 4, после прохождения импульса вида (43) среда полностью инвертируется, поэтому рациональные солитоны при $q \ll 1$ назовем инвертирующими.

Объяснить этот эффект можно также на основе перестройки схемы квантовых переходов продольной составляющей. В сделанном нами приближении $\Omega_{\parallel} \gg \omega_0$ различие между первым и третьем уровнями практически стираются и мы приближенно приходим к двухуровневой системе с двукратно вырожденным верхним уровнем. Поперечная компонента, вызывая квантовые переходы $1 \rightarrow 2$, $2 \rightarrow 3$, распространяется в режиме СИП. Можно сказать, что стирание грани между первым и третьим уровнями при $\Omega_{\parallel} \gg \omega_0$ соответствует приближению заданного поля для продольной составляющей. Поэтому нарушение закона сохранения энергии при прохождении стационарного импульса (42), полностью инвертирующего среду, является кажущимся. Учет первого слагаемого в правой части (27) должен привести к постепенному ослаблению данного импульса.

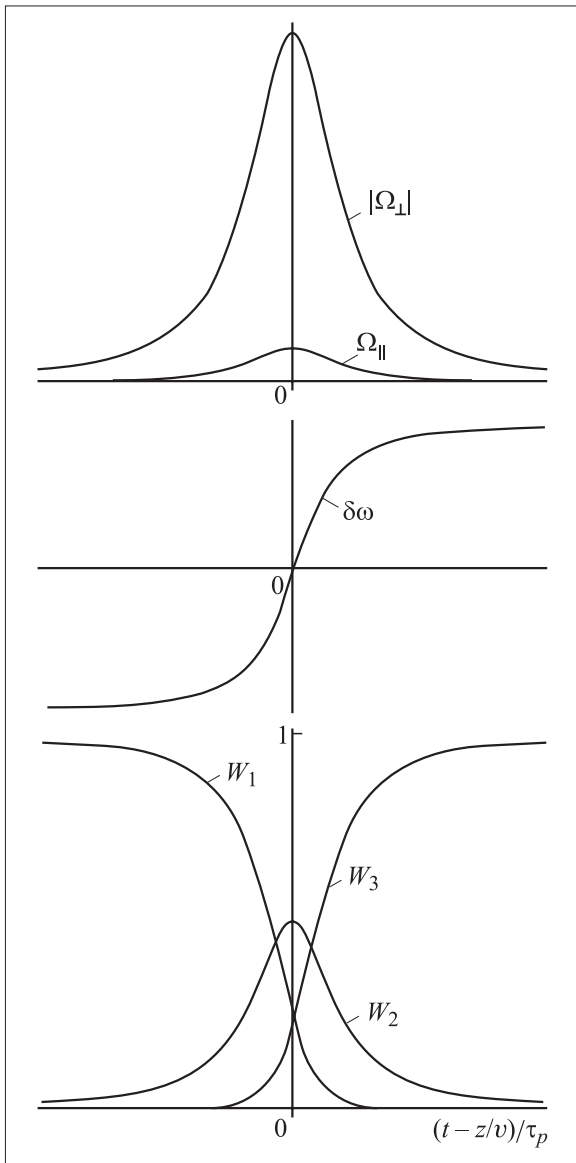


Рис. 4. Профили $|\Omega_{\perp}|$, Ω_{\parallel} , $\delta\omega$ и населенностей квантовых уровней в случае $|\Omega_{\perp}|^2 \gg \Omega_{\parallel}^2$ для рациональных инвертирующих солитонов.

Сильное изменение населенности среды здесь связано с тем, что $|\Omega_{\perp}| \gg \Omega_{\parallel}$, а потому условие спектрального перекрытия квантовых переходов полем импульса остается выполненным и при перестроенном спектре спиновых состояний.

Заметим, что в случае спина $S = 1/2$ эффекта инверсии не возникает [14], так как оба уровня ($M = \pm 1/2$) смещаются продольной компонентой на одну и ту же величину и перестройки спектра не происходит.

Механизм вращения плоскости поляризации в данном случае является линейным и обусловлен последовательной передачей углового момента от поля к среде в результате переходов $1 \rightarrow 2 \rightarrow 3$. Поэтому происходит изменение направления вращения от фронта импульса к его хвосту.

Здесь уместна также аналогия с известным в оптике и радиоспектроскопии явлением адиабатической инверсии, заключающемся в полном возбуждении среды при динамическом изменении отстройки частоты поля от отрицательного к положительному значению [28]. Роль несущей частоты в нашем случае играет ω_{rot} , асимптотические значения которой (при $\xi \rightarrow \pm\infty$) по величине значительно превосходят частоту $2\omega_0$ перехода $1 \leftrightarrow 3$.

Проанализированный выше режим распространения, при котором $\omega_0 \ll \Omega_{\parallel} \ll |\Omega_{\perp}|$, можно рассматривать как один из способов создания инверсии населенностей в системе зеемановских подуровней. После прохождения такого импульса среда должна релаксировать к равновесному состоянию. Не исключено, что это может происходить в режиме акустического сверхизлучения. Данный вопрос требует дополнительного изучения, что выходит за рамки настоящей работы.

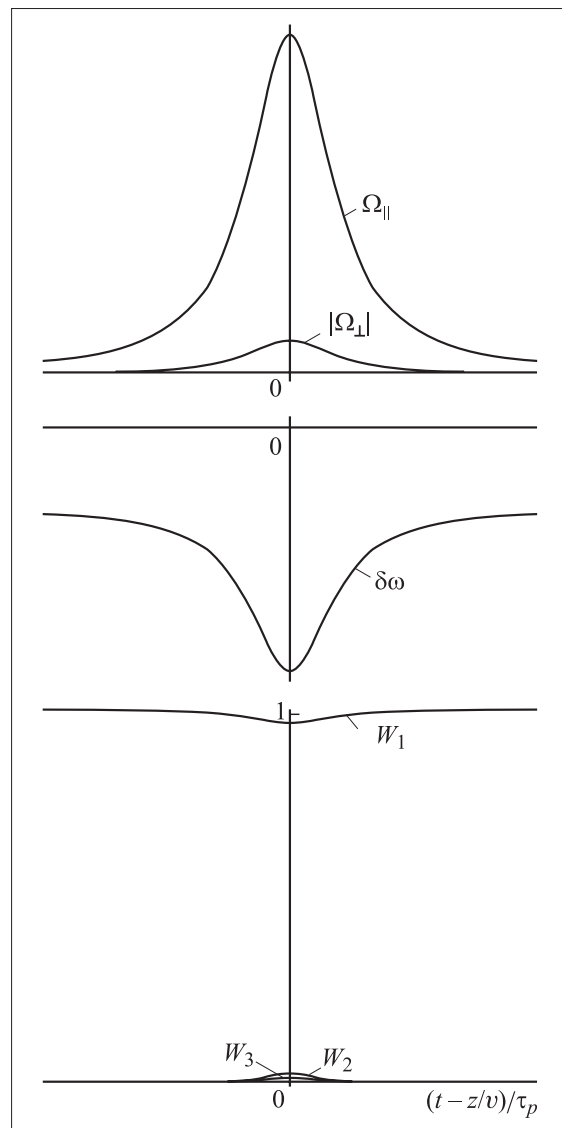


Рис. 5. Профили $|\Omega_{\perp}|$, Ω_{\parallel} , $\delta\omega$ и населенностей квантовых уровней при $|\Omega_{\perp}|^2 \ll \Omega_{\parallel}^2$ в случае рациональных пленяющих солитонов.

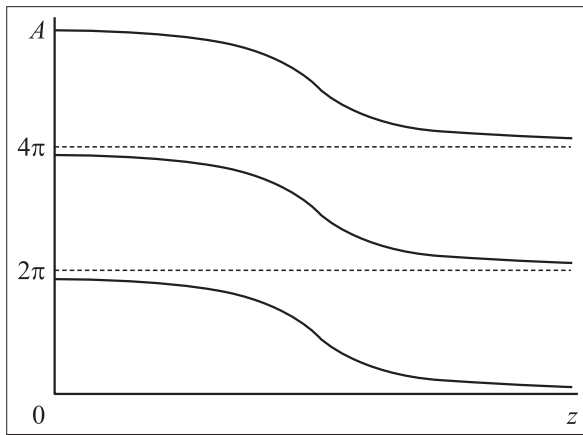


Рис. 6. Схематический анализ динамики полной площади рациональных солитонов.

Рассмотрим теперь противоположный случай $q \gg 1$, когда преобладает продольная компонента. Здесь соответствующие решения для продольной и поперечной компонент импульса имеют вид

$$\Omega_{\perp} = \frac{2\sigma_{\perp}}{\delta q(1 + \xi^2)}, \quad \Omega_{\parallel} = \frac{2\sigma_{\perp}}{\delta(1 + \xi^2)}, \quad (44)$$

где $\tau_p = \delta/\sigma_{\perp}$, $v = a_{\parallel}$. Населенности в данном пределе практически не изменяются (рис. 5)

$$\rho_{11} = 1, \quad \rho_{22} = 0, \quad \rho_{33} = 0.$$

Данное обстоятельство вызвано тем фактом, что при $\Omega_{\parallel} \gg |\Omega_{\perp}| \gg \omega_0$ в спектре поперечной составляющей практически отсутствуют Фурье-компоненты, резонансные квантовым переходам. В соответствии с этим назовем рациональные солитоны (44) пленяющими.

Солитонные режимы распространения в условиях пленения населенностей исследовались ранее в акустике [10] и оптике анизотропных сред [29] для импульсов, состоящих из квазимонохроматической и предельно короткой компонент. В оптике соответствующий режим назван необыкновенной прозрачностью (НП) [29]. Случай $q \gg 1$ в некоторой степени можно рассматривать как аналог НП для акустических видеоимпульсов.

Для ω_{rot} при $q \gg 1$ можно записать

$$\omega_{\text{rot}} = -\frac{1}{\omega_0 \tau_p^2} \left(1 + \frac{1}{1 + \xi^2} \right).$$

В данном случае наибольший вклад во вращение плоскости поляризации вносит продольная компонента, т.е. соответствующий механизм является сугубо нелинейным. Поперечная составляющая стремится передать проекцию своего углового момента переходу $1 \leftrightarrow 2$. Однако из-за отсутствия резонансных Фурье-компонент переход возбуждается очень слабо, поэтому изменения направления плоскости поляризации поперечной составляющей не происходит.

Необходимо отметить интересную особенность. В обоих предельных случаях амплитуда продольной составляющей импульса практически одинакова, значительно меняется только амплитуда поперечной компоненты.

Переходя во втором уравнении системы (39) к пределу $\tau \rightarrow +\infty$, получим

$$\frac{dA}{dz} = -\frac{1}{l_{\text{ef}}} \sin^2 \frac{A}{2}, \quad (45)$$

где $l_{\text{ef}} = q\sqrt{1 + q^2}/2\alpha_{\parallel}$, $A = \int_{-\infty}^{+\infty} \Omega dt'$ — полная „площадь“ импульса.

Уравнение (45) можно рассматривать как теорему площадей для рациональных солитонов. Из (45) следует, что данные солитоны обладают односторонней устойчивостью (рис. 6). Так, для формирования рационального 2π импульса вида (42) „площадь“ A_0 на входе в среду должна лежать в интервале $2\pi < A_0 < 4\pi$. При $A_0 < 2\pi$ солитон не может сформироваться, а входной импульс должен испытывать в среде необратимое затухание. Если же $A_0 = 2\pi N + \varepsilon$, N — целое число, где $0 < \varepsilon < 2\pi$, при $z \gg l_{\text{ef}}$ $A \rightarrow 2\pi N$. По всей видимости, это означает, что входной импульс разобьется в среде на N рациональных солитонов.

Заметим, что эффективная длина l_{ef} формирования инвертирующих солитонов в q раз короче соответствующей длины для пленяющих. Оценим значения l_{ef} в обоих случаях. При приведенных выше параметрах среды имеем $\alpha_{\parallel} \sim 1 \text{ cm}^{-1}$. Тогда при $q \sim 0.1$ (инвертирующие солитоны) $l_{\text{ef}} \sim 0.1 \text{ cm}$, а при $q \sim 10$ (пленяющие солитоны) $l_{\text{ef}} \sim 10 \text{ cm}$.

6. Заключение

Проведенное исследование выявило различные режимы распространения акустических видеоимпульсов пикосекундной длительности в кристалле, содержащем парамагнитные центры с эффективным спином $S = 1$. В рассмотренной здесь геометрии Фарадея роли поперечной и продольной составляющих импульса строго дифференцированы: первая вызывает квантовые переходы в системе зеемановских подуровней, последняя динамическим образом смещает частоты данных переходов. Благодаря этому обстоятельству продольная компонента импульса при определенных условиях способна существенно изменить спектр квантовых состояний эффективного спина. Это в свою очередь увеличивает количество солитонных режимов распространения, отличающихся друг от друга качественным образом. Возможно, что рассмотренные здесь видеосолитоны СИП, а также инвертированные (невозможные в случае $S = 1/2$) и пленяющие солитоны описывают лишь часть режимов распространения в системе $S = 1$. Не исключено, что в геометриях, отличных от фарадеевской, здесь могут быть обнаружены новые солитонные режимы.

В настоящей работе упругое поле мы описывали, оставаясь в рамках механики сплошной среды, т. е. не учитывали пространственную дисперсию. Как показано выше, это накладывает существенные ограничения на величину внешнего магнитного поля, а также на температуру парамагнитного образца ($T < 0.1$ К). Увеличение T до 1 К приводит к необходимости десятикратного увеличения V (или ω_0) для создания заметной разности населенностей зеemanовских подуровней. В противном случае спин-фононное взаимодействие будет едва заметным. При $\omega_0 \sim 10^{11} \text{ s}^{-1}$ длительность $\tau_p \sim 1$ ps, так как должно выполняться условие спектрального перекрытия (18). В этом случае пространственный размер видеоимпульса $l \sim a_{\perp} \tau_p \sim 10^{-7} \text{ cm}$ и здесь необходим отход от приближения сплошной среды [16,30–32]. Кроме того, в таких условиях могут оказаться существенными эффекты нелокальности спин-фононного взаимодействия [16]. С укорочением длительности видеоимпульсов растет их амплитуда. В этих условиях может оказаться необходимым учет ангармонизма колебаний узлов кристалла [16,31,32]. Сами по себе решеточный ангармонизм и пространственная дисперсия способствуют образованию солитонов и в отсутствие парамагнитных примесей. Не исключено, что учет при этом еще и спин-фононного взаимодействия может привести к новым солитонным режимам.

- [19] Л.Д. Ландау, Е.М. Лифшиц. Теоретическая физика. Том. 3: Квантовая механика (нерелятивистская теория). Наука, М. (1989).
- [20] М.Б. Виноградова, О.В. Руденко, А.П. Сухоруков. Теория волн. Наука, М. (1990).
- [21] Э.М. Беленов, А.В. Назаркин. Письма в ЖЭТФ **51**, 5, 252 (1990).
- [22] Н.Н. Моисеев. Асимптотические методы нелинейной механики. Наука, М. (1981).
- [23] А. Найфэ. Введение в методы возмущений. Мир, М. (1984).
- [24] Я.Р. Гантмахер. Теория матриц. Наука, М. (1966).
- [25] Н.Г. Басов, Р.В. Амбарцумян, В.С. Зуев, П.Г. Крюков, В.С. Летохов. ЖЭТФ **50**, 1, 23 (1996).
- [26] А.Н. Ораевский. УФН **168**, 12, 1311 (1998).
- [27] С.В. Сазонов. УФН **171**, 6, 663 (2001).
- [28] Л. Аллен, Дж. Эберли. Оптический резонанс и двухуровневые атомы. Мир, М. (1978).
- [29] С.В. Сазонов. ЖЭТФ **124**, 4 (10), 803 (2003).
- [30] С.А. Ахманов, В.Э. Гусев. УФН **162**, 3, 3 (1992).
- [31] S.V. Sazonov. J. Phys.: Condens. Matter. **4**, 30, 6485 (1992).
- [32] S.V. Sazonov. J. Phys.: Condens. Matter. **6**, 31, 6295 (1994).

Список литературы

- [1] J.T. Darrow, В.В. Hu, X.C. Chang, D.H. Auston. Opt. Lett. **15**, 5, 323 (1990).
- [2] С.А. Ахманов, В.А. Выслоух, А.С. Чиркин. Оптика фемтосекундных лазерных импульсов. Наука, М. (1988).
- [3] А.В. Ким, М.Ю. Рябикин, А.М. Сергеев. УФН **169**, 1, 58 (1999).
- [4] В.А. Голенищев-Кутузов, В.В. Самарцев, Н.К. Соловаров, Б.М. Хабибулин. Магнитная квантовая акустика. Наука, М. (1977).
- [5] С.В. Сазонов. Изв. вузов. Физика **36**, 7, 94 (1993).
- [6] S.L. McCall, E.L. Hahn. Phys. Rev. Lett. **18**, 908 (1967).
- [7] N.S. Shiren. Phys. Rev. B **2**, 7, 2471 (1970).
- [8] Г.А. Денисенко. ЖЭТФ **33**, 1220 (1971).
- [9] В.В. Самарцев, Б.П. Смоляков, Р.З. Шарипов. Письма в ЖЭТФ **20**, 10, 296 (1974).
- [10] С.В. Воронков, С.В. Сазонов. ЖЭТФ **93**, 2 (8), 236 (2001).
- [11] А.А. Заболотский. Письма в ЖЭТФ **76**, 10, 709 (2002).
- [12] А.А. Заболотский. ЖЭТФ **123**, 6, 560 (2003).
- [13] А.Ю. Пархоменко, С.В. Сазонов. ЖЭТФ **114**, 11, 1595 (1998).
- [14] С.В. Воронков, С.В. Сазонов. ФТТ **43**, 11, 1969 (2001).
- [15] Дж. Такер, В. Рэмington. Гиперзвук в физике твердого тела. Мир, М. (1975).
- [16] С.В. Сазонов. ЖЭТФ **118**, 1 (7), 20 (2000).
- [17] С.А. Альтшуллер, Б.М. Козырев. Электронный парамагнитный резонанс соединений элементов промежуточных групп. Наука, М. (1972).
- [18] Л.Д. Ландау, Е.М. Лифшиц. Теоретическая физика. Том. 7: Теория упругости. Наука, М. (1987).